

## SINTEZA I MAGNETNE OSOBINE NANOČESTIČNIH MANGANITA

### $\text{La}_{0.3}\text{Ca}_{0.7}\text{Mn}_{1-x}\text{Ce}_x\text{O}_3$ ( $x=0; 0.2$ )

Vojislav Spasojević, Vladan Kusigerski, Snežana Bošković, Jovan Blanuša, Miodrag Mitrić, Branko Matović, Dušan Bučevac, Institut za nuklearne nauke "Vinča", P.P. 522, 11001 Beograd

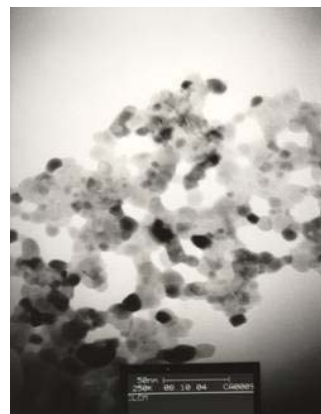
Ljiljana Živković, Elektronski fakultet, Niš

**Sadržaj** – Nanočestični manganiti  $\text{Ca}_{0.7}\text{La}_{0.3}\text{MnO}_3$  i  $\text{Ca}_{0.7}\text{La}_{0.3}\text{Mn}_{0.8}\text{Ce}_{0.2}\text{O}_3$  sa srednjim dijometrima čestica 36 nm i 32 nm, respektivno, sintetisani su modifikovanim glicin-nitratnim postupkom. Temperaturska zavisnost DC magnetizacije ovih uzoraka u ZFC i FC režimu pokazuje tipično ponašanje za nanočestične sisteme, kao što je ireverzibilnost ZFC i FC krivih, kao i postojanje temperature blokiranja  $T_B$  koja zavisi od jačine primjenjenog magnetnog polja  $H$ . Merenja u naizmeničnom magnetnom polju (AC merenja) ukazuju na postojanje znatne interakcije između nanočestica. Bulk parnjaci ovih materijala, dobijeni naknadnim sinterovanjem, pokazuju postojanje G-AFM i C-AFM faza, čije se temperature prelaza slažu sa literaturnim podacima. Prisustvo cerijumovog jona i kod nanočestičnih kao i kod bulk uzoraka pojačava njihove magnetne osobine.

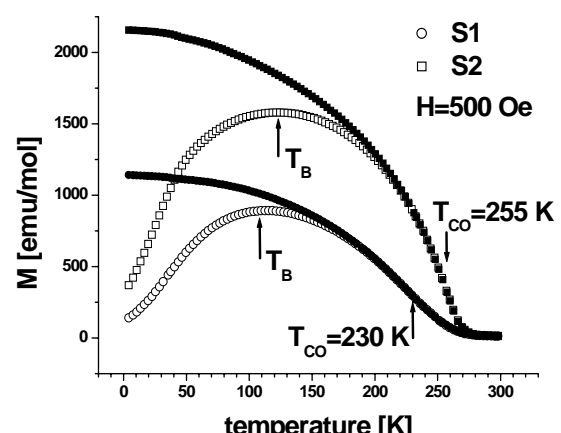
<sup>0</sup>C tri dana, posle čega su sva gore spomenuta merenja ponovljena.

### 3. REZULTATI I DISKUSIJA

Kristalna struktura i za nanočestične i za bulk uzorke je utvrđena profilnim Rietveld-ovim metodom u ortorombičnoj grupi Pnma, odakle su dobijeni strukturni i mikrostrukturni parametri. Dobijene srednje vrednosti veličine kristalita za uzorke S<sub>1</sub> i S<sub>2</sub> su bile 36 nm i 32 nm, respektivno. Snimci uradjeni na TEM mikroskopu potvrđuju ove veličine nanočestica, Slika 1.



Sli. 1. TEM fotografija uzorka S<sub>2</sub>.

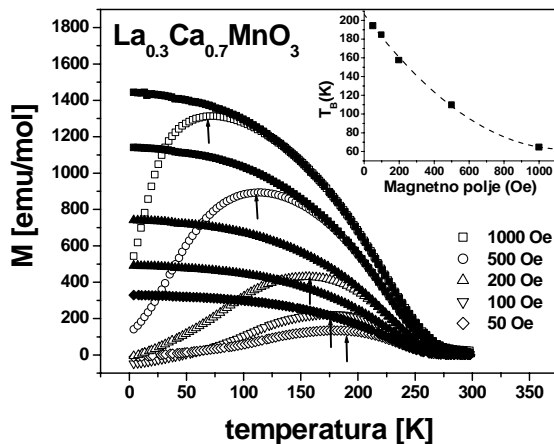


Sli. 2. Temperaturska zavisnost magnetizacije za uzorke S<sub>1</sub> i S<sub>2</sub>. ZFC (prazni simboli), FC (puni simboli).

DC magnetizacija u funkciji temperature za uzorke S<sub>1</sub> i S<sub>2</sub> prikazana je na Sli. 2. Merenja su vršena tako što je uzorak prvo hladjen do 2 K bez spoljašnjeg polja polja i potom je merenje vršeno u primjenjenom magnetnom polju do temperature od 300 K (ZFC grana). Zatim je uzorak hladjen

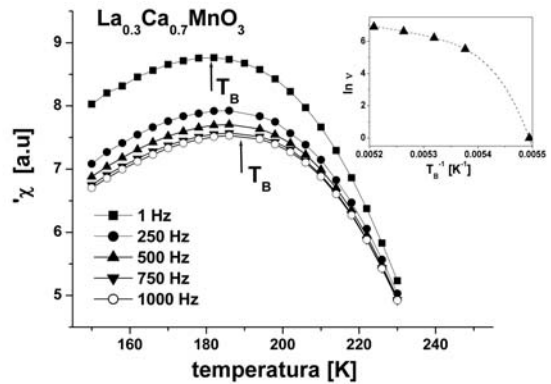
pri uključenom polju do 2 K i merenja su vršena u istom primjenjenom polju (FC grana). Razdvajanje ZFC i FC grane na nekoj temperaturi (temperatura irreverzibilnosti  $T_{ir}$ ), kao i postojanje maksimuma u ZFC grani (temperatura blokiranja  $T_B$  magnetnog momenta nanočestice), predstavljaju tipično ponašanje za magnetne nanočestične materijale [1-3]. Magnetizacija oba uzorka naglo opada u regionu 220-270 K, a nalaženjem položaja minimuma izvoda  $dM/dT$  određene su temperature od 230 K ( $S_1$ ) i 255 K ( $S_2$ ). Prema postojećim faznim dijagramima za  $\text{La}_{0.3}\text{Ca}_{0.7}\text{MnO}_3$  [5,6] ove temperature se mogu pripisati tzv. "charge ordering" (CO) faznim prelazima, pa su na slici označene sa  $T_{CO}$ . Iz slike se vidi da dopiranje cerijumom dovodi do porasta kako  $T_{ir}$  tako i  $T_{CO}$ .

Jedan od glavnih indikatora superparamagnetskog ponašanja je i snižavanje temperature blokiranja sa porastom magnetnog polja, što je prikazano na Sl. 3.



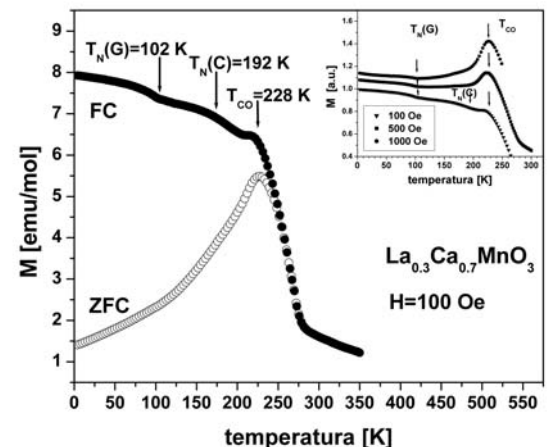
3. Zavisnost magnetizacije od temperature za nanočestični  $\text{La}_{0.3}\text{Ca}_{0.7}\text{MnO}_3$  pri različitim vrednostima polja. ZFC (prazni simboli) FC (puni simboli). Umetak: Zavisnost  $T_B$  od jačine magnetnog polja.

Pojava širokih maksimuma u ZFC grani kao i blagi porast magnetizacije u FC grani sa snižavanjem temperature može biti indikacija interakcije između nanočestica [7], što se najbolje može utvrditi pomoću AC merenja u zavisnosti od frekvencije, u okolini temperature blokiranja. Realni deo AC magnetne susceptibilnosti  $\chi'(v,T)$  prikazan je na Sl. 4. Sa slike se uočava zavisnost maksimuma krive  $\chi'(T)$  od frekvencije, kao i poklapanje krivih iznad  $T_B$ . U slučaju neinteragujućih čestica može se primeniti Néel-Arrhenius-ov model [8], koji predviđa linearnu zavisnost  $\ln v$  od  $T_B^{-1}$ . Dobijeno odstupanje od linearnosti (umetak na Sl. 4) ukazuje na interakciju između čestica. Za procenu veličine te interakcije koriste se parametri  $C_1=\Delta T_B/(T_B \Delta \log v)$  i  $C_2=(T_B-T_0)/T_B$  [7], gde  $T_B$  predstavlja srednju vrednost  $T_B(v)$ , dok  $\Delta T_B$  predstavlja promenu  $T_B$  u merenom opsegu frekvencija.  $T_0$  je karakteristična temperatura u Vogel-Fulcher-ovom zakonu  $v=v_0 \exp[-E_a/k_B(T_B-T_0)]$ . Parametri  $v_0$  i  $E_a$  (aktivaciona energija) su fitujući parametri. Za neinteragujuće superparamagnete  $C_1 \sim 10^{-1}$  i  $C_2=1$ , dok je za jako interagujuće sisteme (kao na primer spinska stakla)  $C_1 \sim 10^{-3}$  and  $C_2 \sim 10^{-2}$ . U našem slučaju, pošto su dobijene vrednosti  $C_1 \sim 2 \cdot 10^{-2}$  i  $C_2 \sim 4 \cdot 10^{-2}$ , može se smatrati da postoji značajna interakcija među česticama.



Sl. 4. Realni deo AC susceptibilnosti u okolini temperature blokiranja  $T_B$  za nekoliko frekvenci. Umetak: Nelinearnost zavisnosti  $\ln v$  od  $T_B^{-1}$  ukazuje na postojanje interakcije između nanočestica.

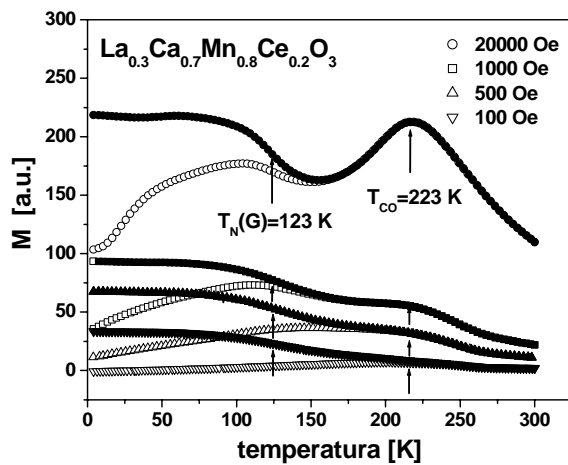
Radi poređenja sa nanočestičnim uzorcima na Sl. 5 je data magnetizacija  $M(T)$  sinterovanog  $\text{La}_{0.3}\text{Ca}_{0.7}\text{MnO}_3$  (uzorak  $S_1\text{C}$ ). Iz slike se vidi da obe grane (ZFC i FC) imaju zajednički maksimum na temperaturi  $T_{CO}=228$  K, koji potiče od prelaza "charge ordering"  $\rightarrow$  paramagnetičan, što je u saglasnosti sa literaturnim podacima [9]. Iz slike se takođe vidi i stepeničasti oblik FC grane sa dva dodatna fazna prelaza koji se javljaju sa snižavanjem temperature. Prvi je na  $T_N(C) \approx 192$  K i može se pripisati prelazu iz izolatorske antiferomagnetske faze C-tipa (C-AFM) u CO fazu [5,6]. Drugi prelaz  $T_N(G) \approx 102$  K se pripisuje parcijalnom formiraju ukošene G-AFM strukture što je ustanovljeno difrakcijom neutrona [5]. Umetak na Sl. 5 pokazuje zavisnost krive  $M(T)$  od jačine primjenjenog magnetnog polja. Uočava se da temperature faznih prelaza  $T_N(G)$  i  $T_{CO}$  ne zavise od primjenjenog polja.



Sl.5. Zavisnost magnetizacije od temperature sinterovanog  $\text{La}_{0.3}\text{Ca}_{0.7}\text{MnO}_3$ . Umetak: Zavisnost FC grane od jačine spoljašnjeg magnetnog polja.

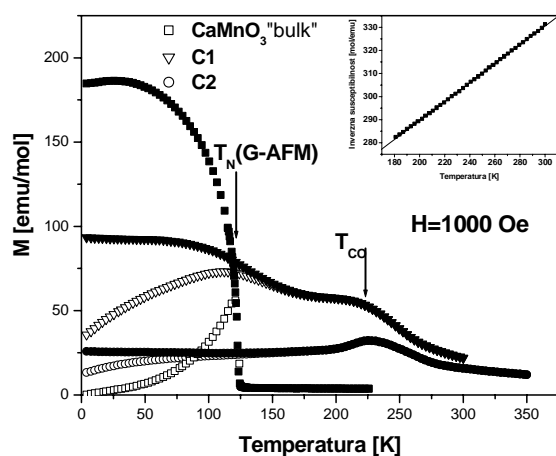
Sinterovani sistem  $\text{La}_{0.3}\text{Ca}_{0.7}\text{Mn}_{0.8}\text{Ce}_{0.2}\text{O}_3$  ( $S_2\text{C}$ ) pokazuje još komplikovaniju  $M(T,H)$  zavisnost, što se može videti na Sl. 6. Iz slike se vidi da su prelazi  $T_{CO}$  i  $T_N(G)$  skoro nezavisni od primjenjenog polja, slično kao kod uzorka  $S_1\text{C}$ , ali su ovde prelazi znatno izraženiji sa povećavanjem magnetnog polja. Nedavno je objavljeno da relativne frakcije

monoklinične C-AFM i ortorombične G-AFM faze kod manganita  $\text{Ca}_{0.85}\text{Sm}_{0.15}\text{MnO}_3$  zavise od jačine magnetnog polja [10]. Naši podaci sugerisu da uvođenje cerijuma povećava frakciju G-AFM faze. Međutim, za potpunu potvrdu ovog zaključka bili bi neophodni eksperimenti neutronske difrakcije.



Sl. 6. Magnetizacija uzorka  $\text{S}_2\text{C}$  u funkciji od temperature, za različita primjena magnetna polja. Prazni simboli (ZFC), puni simboli (FC).

Na kraju, Sl. 7. ilustruje razliku u magnetizaciji između bulk uzorka  $\text{CaMnO}_3$ ,  $\text{La}_{0.3}\text{Ca}_{0.7}\text{MnO}_3$  ( $\text{S}1\text{C}$ ) i  $\text{La}_{0.3}\text{Ca}_{0.7}\text{Mn}_{0.8}\text{Ce}_{0.2}\text{O}_3$  ( $\text{S}2\text{C}$ ). Nedopirani  $\text{CaMnO}_3$  ima fazni prelaz iz G-AFM magnetnog uređenja u paramagnetsku fazu na  $T_N(G)=123 \text{ K}$ , što se potpuno slaže sa literaturnim podacima [11]. Velika razlika između ZFC i FC magnetizacije ukazuje na postojanje jake magnetne anizotropije.



Sl.7. Magnetizacija sinterovanih (bulk) uzoraka  $\text{CaMnO}_3$ ,  $\text{S}1\text{C}$  i  $\text{S}2\text{C}$  u polju od 1000 Oe. Prazni simboli (ZFC), puni simboli (FC). Umetak: Inverzna magnetna susceptibilnost uzorka  $\text{CaMnO}_3$  u funkciji temperature.

Iznad  $T_N$  magnetna susceptibilnost se može opisati Curie-Weiss-ovim zakonom (umetak na Sl. 7), sa paramagnetskom

temperaturom  $\theta_p=-521 \text{ K}$  i efektivnim magnetnim momentom  $\mu_{\text{eff}}=4.4 \mu_B$ . Dobijena vrednost  $\mu_{\text{eff}}$  se slaže sa literaturnim podacima  $4.24 \mu_B$  [11] i  $4.31 \mu_B$  [12], iako su sve te vrednosti iznad očekivane vrednosti od  $3.87 \mu_B$  koja važi za magnetni moment prouzrokovani samo spiskim doprinisom. Oba uzorka  $\text{S}_1\text{C}$  i  $\text{S}_2\text{C}$  imaju "charge order" fazni prelaz na skoro istim temperaturama  $T_{CO}$ , dok uzorak dopiran cerijumom ( $\text{S}_2\text{C}$ ) pokazuje dodatni fazni prelaz na temperaturi  $T_N$  (G-AFM). Ovo navodi na zaključak da dopiranje cerijumom favorizuje formiranje antiferomagnetske strukture tipa G-AFM.

#### 4. ZAKLJUČAK

Nanočestični manganiti  $\text{La}_{0.3}\text{Ca}_{0.7}\text{MnO}_3$  ( $\text{S}1$ ) i  $\text{La}_{0.3}\text{Ca}_{0.7}\text{Mn}_{0.8}\text{Ce}_{0.2}\text{O}_3$  ( $\text{S}2$ ) su sintetisani glicin-nitratnim postupkom pri čemu su ostvarene srednje veličine kristalita od 32 nm i 36 nm, respektivno. Bulk uzorci istog sastava su dobijeni sinterovanjem nanočestičnih uzoraka na  $1140 \text{ }^\circ\text{C}$  u trajanju od tri dana.

DC magnetizacija merena u ZFC i FC režimima na nanočestičnim uzorcima pokazuje tipično ponašanje za nanomagnete, kao što je postojanje temperature irreverzibilnosti  $T_{ir}$  i temperatupe blokiranja u ZFC magnetizaciji. Temperature blokiranja  $T_B$  za oba uzorka pokazuju eksponencijalni pad sa porastom magnetnog polja. Uzorci dopirani cerijumom imaju više temperature  $T_{ir}$  i  $T_B$ . Primećeni magnetni fazni prelazi kod oba uzorka, na različitim temperaturama  $T_{CO}$ , pripisuju se faznom prelazu iz faze "charge ordering" u paramagnetsku fazu. AC merenja pokazuju odstupanje od Néel-Arrhenius-ovog modela, što ukazuje na postojanje značajne interakcija između magnetskih nanočestica.

Sinterovani uzorci  $\text{S}_1\text{C}$  i  $\text{S}_2\text{C}$  pokazuju veliko razdvajanje između ZFC i FC magnetizacije, što ukazuje na prisustvo jake magnetne anizotropije. Temperature  $T_{CO}$  su niže nego u odgovarajućim nanočestičnim uzorcima. DC magnetizacija ukazuju na postojanje dve antiferomagnetske faze, C-AFM i G-AFM, sa temperaturama faznih prelaza koje su u saglasnosti sa literaturnim faznim dijagramima. Nedopirani bulk  $\text{CaMnO}_3$  ima prelaz iz G-AFM faze u paramagnetsku fazu na  $T_N(G)=123 \text{ K}$ . Iznad ove temperature magnetna susceptibilnost se može opisati Curie-Weiss-ovim zakonom pri čemu su  $\theta_p=-521 \text{ K}$  i  $\mu_{\text{eff}}=4.4 \mu_B$ . Obe ove vrednosti su u saglasnosti sa literaturnim podacima.

#### LITERATURA

- [1] E. Dagotto, T. Hotta, A. Moreo, "Colossal Magnetoresistant Materials: the Key role of Phase Separation", Physics Reports 344 (2001) 1-153.
- [2] Nanoscale Materials in Chemistry, edited by Kenneth J. Klabunde, Wiley-Interscience, New York 2001, p. 292.
- [3] E. Dagotto, J. Burgoy, A. Moreo, "Nanoscale phase separation in colossal magnetoresistance materials: lessons for the cuprates?", Sol. Stat. Commun. 126 (2003) 9-22.
- [4] S. Bošković, B. Z. Matovic, M. D. Vlajić, V. D. Kristić, to be published in Sol. Stat. Ionics.
- [5] D.D. Ling, E. Granado, J.J. Neumeier, J.W. Lynn, D.N. Argyriou, "Inhomogeneous Magnetism in La-doped

- $\text{CaMnO}_3$ : (I) Phase Separation due to Lattice-coupled Ferromagnetic Interactions", Phys. Rev. B 68 (2003) 134439-134446.
- [6] A. Moreo, S. Yunoki, E. Dagotto, "Phase Separation Scenario for Manganese Oxides and Related Materials", Science 283 (1999) 2034-2040.
- [7] F. Bødker, M.F. Hansen, C. Bender Koch, S. Mørup, "Particle interaction effects in antiferromagnetic  $\text{NiO}$  nanoparticles", J. Magn. Magn. Matter. 221 (2000) 32-36.
- [8] J.L. Dorman, D. Fiorani, R. Cherkaoui, E. Tronc, F. Lucari, F. D'Orazio, L. Spinu, M. Noguès, H. Kachkachi, J.P. Jolivet, "From pure superparamagnetism to glass collective state in  $\gamma\text{-Fe}_2\text{O}_3$  nanoparticle assemblies", J. Magn. Magn. Matter. 203 (1999) 23-27.
- [9] C. Martin, A. Maignan, M. Hervieu, B. Raveau, "Magnetic phase diagrams of  $L_{1-x}A_x\text{MnO}_3$  manganites ( $L=\text{Pr}, \text{Sm}; A=\text{Ca}, \text{Sr}$ )", Phys. Rev. B 60 (1999) 12191-12199.
- [10] P.A. Algarabel, J.M. De Teresa, B. Garcia-Landa, L. Morellon, M.R. Ibarra, C. Ritter, R. Mahendiran, A. Maignan, M. Hervieu, C. Martin, B. Raveau, A. Kurbakov, V. Trounov, "Field effect on phase segregation in the electron-doped mixed-valence manganites near a structural instability", Phys. Rev. B 65 (2002) 104437-104441.
- [11] H. Aliaga, M.T. Causa, M. Tovar, A. Butera, B. Alascio, D. Vega, G. Leyva, G. Polla, P. Konig, "High Temperature Susceptibility in Electron Doped  $\text{Ca}_{1-x}\text{Y}_x\text{MnO}_3$ : Double Exchange versus Superexchange", J. Phys.: Condens. Matter 15 (2003) 249-258.
- [12] E. Granado, N.O. Moreno, H. Martinho, A. Garcia, J.A. Sanjurjo, I. Torriani, C. Rettori, J.J. Neumeier, S.B. Oseroff, "Dramatic changes in the magnetic coupling mechanism for La-doped  $\text{CaMnO}_3$ ", Phys. Rev. Lett. 86 (2001) 5385-5388.

**Abstract** – Nanosized mixed valent perovskite manganites  $\text{Ca}_{0.7}\text{La}_{0.3}\text{MnO}_3$  and  $\text{Ca}_{0.7}\text{La}_{0.3}\text{Mn}_{0.8}\text{Ce}_{0.2}\text{O}_3$  with the average crystallite size of 36 nm and 32 nm, respectively, were synthesized by the modified glycine-nitrate procedure. Their magnetic properties were investigated by M(T) measurements in both ZFC and FC regimes in several applied DC magnetic fields, as well as by AC susceptibility measurements. Obtained magnetization curves display behavior typical for magnetic nanoparticle systems such as irreversibility of ZFC and FC curves, and field dependence of the magnetization maximum in ZFC branches. AC measurements point to the existence of interparticle interactions of considerable strength. Investigation of the magnetic properties of bulk counterparts shows that nanosizing suppresses G-AFM and C-AFM phases that exist in bulk compounds. Phase transitions temperatures for these phases as well as for charge ordering transition  $T_{\text{CO}}$  are in accordance with estimated temperatures found in literature phase diagrams. Presence of cerium ions enhances magnetic properties in both nanosized and bulk samples.

## SYNTHESIS AND MAGNETIC PROPERTIES OF NANOSIZED MANGANITES $\text{La}_{0.3}\text{Ca}_{0.7}\text{Mn}_{1-x}\text{Ce}_x\text{O}_3$ ( $x=0; 0.2$ )

Vojislav Spasojević, Vladan Kusigerski, Snežana Bošković,  
Jovan Blanuša, Miodrag Mitrić, Branko Matović, Dušan  
Bučevac, Ljiljana Živković